

СБОРНИК НАУЧНЫХ ТРУДОВ
4-го Международного радиоэлектронного форума
«Прикладная радиоэлектроника.
Состояние и перспективы развития»
(МРФ'2011)
В трех томах

PROCEEDINGS
of 4nd International Radio Electronic Forum
(IREF'2011)
In three volumes

Том I
КОНФЕРЕНЦИЯ
«ИНТЕГРИРОВАННЫЕ ИНФОРМАЦИОННЫЕ РАДИОЭЛЕКТРОННЫЕ
СИСТЕМЫ И ТЕХНОЛОГИИ»
Часть 1

Volume I
CONFERENCE
«INTEGRATED INFORMATION RADIO ELECTRONIC SYSTEMS
AND TECHNOLOGIES»
Part 1

18–21 октября 2011 г.

Харьков, Украина

October 18–21, 2011
Kharkov, Ukraine

Харьков
2011

УДК 621.37/.39

4-й Международный радиоэлектронный форум «Прикладная радиоэлектроника. Состояние и перспективы развития» МРФ-2011. Сборник научных трудов: материалы форума в 3-х томах. Том. I. Конференция «Интегрированные информационные радиоэлектронные системы и технологии». Ч. 1. – Харьков: АНПРЭ, ХНУРЭ, 2011. – 404 с.

В сборник включены научные доклады участников конференции «Интегрированные информационные радиоэлектронные системы и технологии» (ИИРЭСТ) 4-го Международного радиоэлектронного форума «Прикладная радиоэлектроника. Состояние и перспективы развития» МРФ-2011.

Издание подготовлено инновационно-маркетинговым отделом
Харьковского национального университета радиоэлектроники
и редакцией журнала «Прикладная радиоэлектроника»

61166, Украина, Харьков, просп. Ленина, 14.

Тел.: (057) 7021-397, 7021-515, 7021-735

Факс: (057) 7021-113

E-mail: innov@kture.kharkov.ua

akad@kture.kharkov.ua

© Академия наук прикладной
радиоэлектроники,
2011

© Харьковский национальный
университет радиоэлектроники,
2011

КОМПЛЕКСНО-СОПРЯЖЕННАЯ КОМПОНЕНТА СИГНАЛА ПРИ НЕИДЕНТИЧНОСТИ ДЖИТТЕРА АЦП В КВАДРАТУРНЫХ КАНАЛАХ ФАЗОВОГО ДЕТЕКТОРА С ДОПОЛНИТЕЛЬНЫМ СТРОБИРОВАНИЕМ

Бондаренко М.В.¹, Копиевская В.С.², Слюсар В.И.²

¹ООО «Пульсар»,

49044, г. Днепропетровск, ул. Рогалева, 9

²Центральный научно-исследовательский институт вооружения и военной техники Вооруженных Сил Украины

03040, г. Киев, Воздухофлотский проспект, 28

e-mail: swadim@inbox.ru

The given work is devoted to the research of influence of nonidentical ADC jitter at I/Q demodulator. A method of estimation of signal's conjugate components for case of nonidentical ADC jitter at I/Q demodulator is synthesized. The results of computational modeling are given.

Традиционный для радиотехнических приложений квадратурный вариант построения приемных каналов с аналого-цифровым преобразованием косинусной и синусной составляющих сигнальной смеси, как известно, нуждается в высокой идентичности характеристик передачи квадратурных аналоговых трактов. В противном случае вследствие различий в комплексных коэффициентах передачи квадратурных подканалов возникают комплексно-сопряженные компоненты (КСК) сигнальных откликов, эффект от воздействия которых аналогичен влиянию активных помех.

Вместе с тем, наряду с выдвижением требований к идентичности указанных детерминированных характеристик приемных трактов следует обращать внимание и на их статистические параметры, формулируя требования, например, к идентичности дисперсий джиттера АЦП квадратурных подканалов. Поскольку ранее в литературе не уделялось внимания исследованию влияния неидентичности величины джиттера на уровень КСК сигнального отклика по выходу цифровых фазовых детекторов (демодуляторов), целью доклада является рассмотрение теории данного вопроса с выводом соотношений для оценки уровня КСК.

Пусть на входах квадратурного аналого-цифрового преобразователя (АЦП) присутствует комплексный гармонический сигнал

$$u(t) = A \cos(\omega t + \phi) + j A \sin(\omega t + \phi). \quad (1)$$

Предположим, что сигнал (1) дискретизируется АЦП с джиттером. Запишем результат дискретизации в виде:

$$u_n = A \cos(\omega n(T + \tau_{C,n}) + \phi) + \eta_{C,n} + j A \sin(\omega n(T + \tau_{K,n}) + \phi) + j \eta_{K,n}, \quad (2)$$

где $\tau_{C,n}$ и $\tau_{K,n}$ - отсчеты джиттера в синфазном и квадратурном каналах, соответственно; $\eta_{C,n}, \eta_{K,n}$ - отсчеты аддитивного шума в синфазном и квадратурном каналах; T - период дискретизации АЦП; $j = \sqrt{-1}$.

Опишем результат работы цифрового фазового детектора с дополнительным стробированием [1] следующим образом:

$$U_m = \sum_{k=0}^{N-1} u_{k+mN} \exp(-j\omega_0 T(k + Nm)), \quad (3)$$

где ω_0 - частота опорного сигнала на выходе цифрового гетеродина.

Рассмотрим математическое ожидание величины U_m

$$E\{U_m\} = \sum_{k=0}^{N-1} E\{u_{k+mN}\} \exp(-j\omega_0 T(k + Nm)). \quad (4)$$

Учитывая выражение, полученное в [2]:

$$E\{A \sin(\omega n(T + \tau) + \phi)\} = A \exp(-2^{-1} \omega^2 \sigma_\tau^2) \sin(\omega T n + \phi), \quad (5)$$

и предполагая, что дисперсии величин $\tau_{C,n}$ и $\tau_{K,n}$ равны, соответственно, $\sigma_{C,\tau}^2$ и $\sigma_{K,\tau}^2$, а средние значения $\tau_{C,n}$, $\tau_{K,n}$ и отсчетов аддитивного шума равны нулю, перепишем выражение (4) в следующем виде:

$$E\{U_m\} = \sum_{k=0}^{N-1} \left[A \exp(-2^{-1}\omega^2\sigma_{C,\tau}^2) \cos(\omega T(k+Nm) + \phi) + j A \exp(-2^{-1}\omega^2\sigma_{K,\tau}^2) \sin(\omega T(k+Nm) + \phi) \right] \exp(-j\omega_0 T(k+Nm)). \quad (6)$$

Раскрывая скобки, преобразуем (6) к виду:

$$\begin{aligned} E\{U_m\} &= A \exp(-2^{-1}\omega^2\sigma_{C,\tau}^2) \sum_{k=0}^{N-1} \cos(\omega T(k+Nm) + \phi) \cos(\omega_0 T(k+Nm)) + \\ &+ A \exp(-2^{-1}\omega^2\sigma_{K,\tau}^2) \sum_{k=0}^{N-1} \sin(\omega T(k+Nm) + \phi) \sin(\omega_0 T(k+Nm)) - \\ &+ j A \exp(-2^{-1}\omega^2\sigma_{K,\tau}^2) \sum_{k=0}^{N-1} \sin(\omega T(k+Nm) + \phi) \cos(\omega_0 T(k+Nm)) - \\ &- j A \exp(-2^{-1}\omega^2\sigma_{C,\tau}^2) \sum_{k=0}^{N-1} \cos(\omega T(k+Nm) + \phi) \sin(\omega_0 T(k+Nm)). \end{aligned} \quad (7)$$

Используя известные тригонометрические тождества [3], преобразуем (7) следующим образом:

$$\begin{aligned} E\{U_m\} &= \frac{A}{2} \left(\exp(-2^{-1}\omega^2\sigma_{C,\tau}^2) + \exp(-2^{-1}\omega^2\sigma_{K,\tau}^2) \right) \sum_{k=0}^{N-1} \cos((\omega - \omega_0)T(k+Nm) + \phi) + \\ &+ \frac{A}{2} \left(\exp(-2^{-1}\omega^2\sigma_{C,\tau}^2) - \exp(-2^{-1}\omega^2\sigma_{K,\tau}^2) \right) \sum_{k=0}^{N-1} \cos((\omega + \omega_0)T(k+Nm) + \phi) + \\ &+ j \frac{A}{2} \left(-\exp(-2^{-1}\omega^2\sigma_{C,\tau}^2) + \exp(-2^{-1}\omega^2\sigma_{K,\tau}^2) \right) \sum_{k=0}^{N-1} \sin((\omega + \omega_0)T(k+Nm) + \phi) \\ &+ j \frac{A}{2} \left(\exp(-2^{-1}\omega^2\sigma_{K,\tau}^2) + \exp(-2^{-1}\omega^2\sigma_{C,\tau}^2) \right) \sum_{k=0}^{N-1} \sin((\omega - \omega_0)T(k+Nm) + \phi). \end{aligned} \quad (8)$$

Для сокращения записи введем обозначения

$$B(1+\alpha) = \frac{A}{2} \exp(-2^{-1}\omega^2\sigma_{C,\tau}^2); \quad B = \frac{A}{2} \exp(-2^{-1}\omega^2\sigma_{K,\tau}^2). \quad (9)$$

Окончательно перепишем (8) как

$$\begin{aligned} E\{U_m\} &= B(2+\alpha) \sum_{k=0}^{N-1} \cos((\omega - \omega_0)T(k+Nm) + \phi) + B\alpha \sum_{k=0}^{N-1} \cos((\omega + \omega_0)T(k+Nm) + \phi) - \\ &- jB\alpha \sum_{k=0}^{N-1} \sin((\omega + \omega_0)T(k+Nm) + \phi) + jB(2+\alpha) \sum_{k=0}^{N-1} \sin((\omega - \omega_0)T(k+Nm) + \phi) = \\ &= B(2+\alpha) \sum_{k=0}^{N-1} \exp(j(\omega - \omega_0)T(k+Nm) + \phi) + B\alpha \sum_{k=0}^{N-1} \exp(-j(\omega + \omega_0)T(k+Nm) + \phi) \end{aligned} \quad (10)$$

Используя формулы [4, п.1.341, пп.1 и 3] для сумм экспонент, преобразуем выражение (10):

$$E\{U_m\} = B(2+\alpha) \frac{\sin\left(\frac{NT}{2}(\omega - \omega_0)\right)}{\sin\left(\frac{T}{2}(\omega - \omega_0)\right)} \exp\left(j\frac{(\omega - \omega_0)T}{2}(2Nm + N - 1) + \phi\right) +$$

$$+B\alpha \frac{\sin\left(\frac{NT}{2}(\omega + \omega_0)\right)}{\sin\left(\frac{T}{2}(\omega + \omega_0)\right)} \exp\left(-j\frac{(\omega + \omega_0)T}{2}(2Nm + N - 1) + \phi\right). \quad (11)$$

Здесь первое слагаемое соответствует основной составляющей сигнала, а второе – комплексно-сопряженной. Из (11) получаем отношение амплитуд основной и комплексно-сопряженной составляющих при неидентичных дисперсиях джиттера в квадратурных каналах АЦП:

$$S = \frac{B(2+\alpha) \frac{\sin\left(\frac{NT}{2}(\omega - \omega_0)\right)}{\sin\left(\frac{T}{2}(\omega - \omega_0)\right)}}{B\alpha \frac{\sin\left(\frac{NT}{2}(\omega + \omega_0)\right)}{\sin\left(\frac{T}{2}(\omega + \omega_0)\right)}} = \frac{(2+\alpha) \frac{\sin\left(\frac{NT}{2}(\omega - \omega_0)\right)}{\sin\left(\frac{T}{2}(\omega - \omega_0)\right)}}{\alpha \frac{\sin\left(\frac{NT}{2}(\omega + \omega_0)\right)}{\sin\left(\frac{T}{2}(\omega + \omega_0)\right)}}, \quad (12)$$

где $1+\alpha = \frac{\frac{A}{2} \exp(-2^{-1}\omega^2\sigma_{c,\tau}^2)}{\frac{A}{2} \exp(-2^{-1}\omega^2\sigma_{k,\tau}^2)}$; $\alpha = \frac{\exp(-2^{-1}\omega^2\sigma_{c,\tau}^2)}{\exp(-2^{-1}\omega^2\sigma_{k,\tau}^2)} - 1$.

При одинаковых дисперсиях джиттера в квадратурах $\sigma_{c,\tau}^2 = \sigma_{k,\tau}^2$, и $\alpha=0$. В результате отношение S в (12) будет стремиться к бесконечности, что соответствует нулевому значению КСК. Если рассматривать в качестве показателя неидентичности джиттера в квадратурах величину α , то при условии $\sigma_{c,\tau}^2 + \sigma_{k,\tau}^2 = \text{const}$ бесконечное увеличение α позволяет получить предел выражения для S , который при фиксированной частоте сигнала определяется значением:

$$\lim_{\alpha \rightarrow \infty} S = \lim_{\alpha \rightarrow \infty} \frac{\frac{2 \frac{\sin\left(\frac{NT}{2}(\omega - \omega_0)\right)}{\sin\left(\frac{T}{2}(\omega - \omega_0)\right)}}{\frac{\sin\left(\frac{NT}{2}(\omega + \omega_0)\right)}{\sin\left(\frac{T}{2}(\omega + \omega_0)\right)}} + \frac{\alpha \frac{\sin\left(\frac{NT}{2}(\omega - \omega_0)\right)}{\sin\left(\frac{T}{2}(\omega - \omega_0)\right)}}{\alpha \frac{\sin\left(\frac{NT}{2}(\omega + \omega_0)\right)}{\sin\left(\frac{T}{2}(\omega + \omega_0)\right)}}}{\frac{\frac{\sin\left(\frac{NT}{2}(\omega - \omega_0)\right)}{\sin\left(\frac{T}{2}(\omega - \omega_0)\right)}}{\frac{\sin\left(\frac{NT}{2}(\omega + \omega_0)\right)}{\sin\left(\frac{T}{2}(\omega + \omega_0)\right)}}}. \quad (13)$$

Для оценки степени влияния неидентичности джиттера в квадратурных каналах АЦП на величину отношения S был проведен расчет соотношения (12) в пакете Mathcad для различных исходных данных при изменении частоты входного сигнала в пределах основного «лепестка» амплитудно-частотной характеристики (АЧХ) цифрового фазового детектора с дополнительным стробированием. Пример результатов расчета представлен в логарифмическом масштабе на рис. 1. По горизонтальной оси отложено смещение входного сигнала (амплитудой 10 квантов АЦП) по частоте относительно центральной частоты цифрового фазового детектора, равной 100 МГц, с дискретом в 1/250 ширины основного «лепестка» АЧХ. По вертикальной оси представлено расчетное значение величины S (12). Частота дискретизации задана равной 400 МГц (соответствует $\frac{1}{4}$ периода центральной частоты фазового детектора, то есть 2,5 нс). В процессе расчетов фиксировалась сумма дисперсий $\sigma_{c,\tau}^2 + \sigma_{k,\tau}^2$. В результате достаточно было варьировать величиной дисперсии джиттера лишь в одной из квадратурных составляющих сигнала, тогда как значение

ние для дисперсии в другой квадратуре рассчитывалось по теореме Пифагора. Рис. 1 соответствует случаю $\sigma_{C,\tau}^2 + \sigma_{K,\tau}^2 = 1 \times 10^{-24}$ с. Сплошная линия на рис. 1 получена при условии СКО джиттера $\sigma_{C,\tau} = 0,01$ пс и $\sigma_{K,\tau} = \sqrt{1 - 0,01^2} \approx 0,99995$ пс (неидентичность СКО джиттера в квадратурах составляет примерно 99,995 раз), а штриховая линия - $\sigma_{C,\tau} = 0,707$ пс и $\sigma_{K,\tau} = \sqrt{1 - 0,707^2} \approx 0,70721$ пс (дисперсия джиттера в квадратурах близка к равенству, неидентичность СКО равна примерно 1,000302 раза). Как видно, значение S уменьшается с увеличением неидентичности джиттера в квадратурах АЦП, однако это снижение ограничивается по уровню пределом (13).

Таким образом, используя полученное выражение (12), можно сформулировать требования к относительной величине неидентичностей а дисперсий джиттера квадратных АЦП, задавшись допустимым уровнем величины КСК на выходе цифрового фазового детектора в полосе частот.

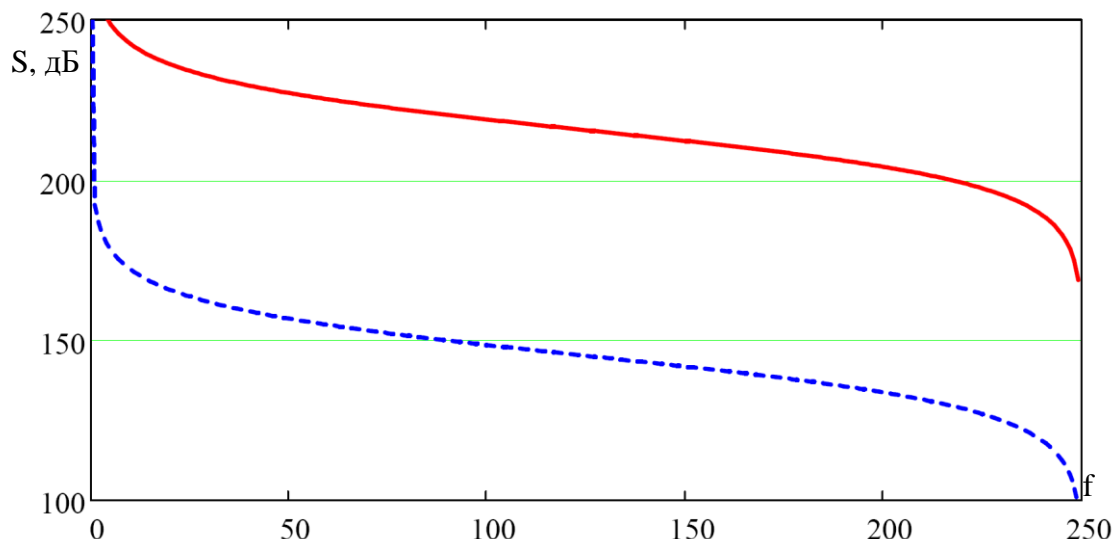


Рис. 1.

Литература.

1. Слюсар В.И. Синтез алгоритмов измерения дальности M источников при дополнительном стробировании отсчетов АЦП.// Известия вузов. Сер. Радиоэлектроника.- 1996. - Том 39, № 5. - С. 55 - 62.
2. T. M. Souders, D. R. Flach, and C. Hagwood, G. Yang. The Effects of Timing Jitter in Sampling Systems. // IEEE Trans. on Instrumentation and Measurement. Vol. 39. No. I . February 1990, pp.80 - 85.
3. Бронштейн И.Н., Семендяев К.А. Справочник по математике и учащихся втузов. - 13-е изд. - М.: Наука. - Гл. ред. физ.-мат. лит., 1986. - 544 с.
4. Градштейн И.С., Рыжик И.М. Таблицы интегралов, сумм, рядов и произведений. - 4-е изд. - М.: Государственное издательство физико-математической литературы, 1963. — 1100 с.

АЛФАВИТНЫЙ СПИСОК АВТОРОВ ДОКЛАДОВ

Castro D.E.....	76	Дохов А.И.	56, 86
Espadas V.E.	76	Дудкін С.А.	26
Laurukovich U.	7	Е	
Lukin K.A.	41	Евсеев Д.Б.	160
Pushkov A.	7	Ермак Г.П.	287
Shkvarko Y.V.	76	Ж	
Vovshin B.	7	Жила С.С.	237
Vylegzhannin I.	7	Жилин Е.И.	299, 301
А		Журавлëв М.Н.	203
Алферов Н.Е.	244	З	
Аль-Самарай Ш.Ф.А.	366	Заболотный С.В.	164
Артиюх А. В.	315	Зайченко А.Н.	248, 359
Атаманский Д.В.	13	Залевский Г.С.	125
Атрошенко Л.М.	391	Зарицкий В.И.	86, 140, 172, 392
Ашихмин А.В.	51	Зарудный А.А.	318, 321
Б		Зеленский А.А.	387
Бабаков М.Ф.	140, 172	Земляченко А.Н.	387
Бабкин С.И.	241	Зинин В.П.	203
Багдасарян С.Т.	195	Зуйков В.А.	90
Балан М.Г.	90	И	
Баранчиков Д.А.	352	Ильин М.А.	371, 374
Барингольц Т.В.	109	К	
Басецкий В.Л.	318, 321	Кальной С.Е.	301, 304
Безрук В.М.	82	Калижный Н.М.	56
Белов Е.Н.	82	Калютчик В.С.	168
Бзот В.Б.	184	Канцедал В.М.	132
Благодарный В.Г.	36	Карачевцев А.М.	
Блишун А.П.	323	Карлов Д.В.	192
Богословский А.В.	325	Карпова Л.В.	261
Болховская О.В.	129	Карташов В.М.	241, 258
Бондаренко И.С.	281	Катюшин Е.А.	392
Бондаренко М.В.	355	Килимник О.М.	234
Бречка М.М.	125	Клімішен О.О.	192
Брюховецкий А.Б.	188	Кобзев А.В.	184
Буйлов Е.Н.	199	Коваль В.В.	211
Букин А.В.	281	Кожухов А.М.	188
Бурдаков С.Н.	359	Козарь А.И.	331
Бутрым Т.В.	299	Козьмин В.А.	51
Буян М.И.	172	Копиевская В.С.	355
В		Коротеев Д.Е.	114
Варавин А.В.	287	Коротков В.В.	301, 304
Василец В.А.	125	Корытцев И.В.	371
Васильев А.С.	287	Костяшкін С.І.	391
Васильев В.А.	195	Кравченко В.Ф.	61
Верещак А.П.	248	Кравченко О.В.	61
Власенко В.П.	188	Красногорский М.Г.	391
Войтович О.А.	82	Кривенко С.С.	387
Волосюк В.К.	61, 237	Кривов'яз А.Т.	26
Воронцов М.Н.	230	Кривоносов Н.Г.	203
Г		Крылов Б.Н.	20
Гавриш А.С.	211	Крючков И.В.	114
Галкин С.А.	56	Кузнецов И.Е.	98
Гаричий Д.А.	160	Кукуш В. Д.	101
Гимпилевич Ю.Б.	362	Куликов А.Л.	348
Голубцов М.Е.	114, 327	Куля Д.Н.	241
Гомозов А.В.	366	Купко В.С.	391
Горельников С.А.	306	Л	
Горобец Н.Н.	391	Лега Ю.Г.	211
Горшков С.А.	207, 265, 269	Леховицкий Д.И.	13, 86
Готовчиц И.В.	20	Липатов В.П.	109
Грецких Д.В.	366	Литвинов А.И.	376
Гузь В.И.	109	Литвин-Попович А.И.	160
Гуцев Р.А.	168	Логвинов Ю. Ф.	222, 226, 383
Д		Лукин В.В.	387
Данилин А.Б.	248, 359	Лукин К.А.	132
Диков Е.Н.	188	Лукьянчук А.Г.	362
Донец И.В.	180	Луценко В.И.	140, 172
Дорошенко В.А.	315, 323		

Луценко И. В.	140, 172
Лю Чан	105
Любич И.В.	311
Любчик В.Р.	234
M	
Макаров А.Л.	248, 359
Максимов Н.И.	20
Маликов В.М.	391
Мартынчук А.А.	290
Марюх В.А.	244
Матюшенко А.Н.	277
Мельков С.М.	311
Миколушко А.М.	94
Михайлук Ю.П.	297
Могила А.А.	176
Монаков А.А.	256
Мочалин Е.В.	306
Мурга В.В.	306, 311
H	
Нахмансон Г.С.	252
Начаров Д. В.	297
Нетребенко К.А.	82
Нефедов С.И.	114, 117, 120
Николаев А.И.	69
Николаев И.М.	56
Носова А.Д.	219
O	
Обытоцкий Д.А.	109
Олейников А. Н.	101
Олейников В.Н.	160
Оргиш П.И.	269, 335
Остапова А.М.	192
P	
Павлик В.В.	61, 237
Павлова О.Л.	380
Панфилов А.В.	129
Панченко А.Ю.	105, 244
Парахневич А.В.	207
Пархоменко Н.Г.	180
Пашенко С.В.	241
Педенко Ю.А.	215, 226
Перунов Ю.М.	30
Петров В.А.	380
Петрухин А.А.	348
Певцов Г.В.	192
Пичугин М.Ф.	219
Пономаренко Н.Н.	387
Попов И.В.	287
R	
Разиньков С.Н.	136, 325
Разказовский В. Б.	90, 222, 226, 383
Рачков Д.С.	13, 86, 150, 154, 392
Резниченко Н.Г.	90
Рембовский А.М.	51
Родионов В.В.	144
Руднев Г.А.	82
Русов Ю.С.	327
Рябуха В.П.	154
C	
Саваневич В.Е.	188
Салыпа С.В.	164
Самоквіт В.І.	339
Свечников А.С.	348
Седышев С.Ю.	168, 230
Седышев Ю.Н.	339
Семеняка А.В.	13, 86, 154, 150, 392
Сидоров Г.И.	371
Слипченко Н.И.	105
Слободянюк П.В.	36
Слукин Г.П.	114
Слюсар В.И.	355
Слюсарь Н.М.	47
Смертенко Е.В.	109
Соболенко С.А.	219
Солонар А.С.	207
Сорокин В.А.	203
Сорох Н.О.	352
Сосульников В.В.	203
Стрелков А.И.	299, 301, 304
Стрелкова Т.А.	299, 304
Сугак А.В.	281
Сугак В.Г.	281
Супрун А.А.	258
Сухаревский О.И.	125
Сытник О.В.	258
T	
Терехов С.О.	26
Тихонов В.А.	82
Тищуков А.В.	285
Ткачёв В.Н.	188
Ткачев Г.Н.	20
Торгонский В.В.	109
Трофименко Ю.В.	192
Тютюнник В.А.	339
F	
Филоненко В. В.	277
X	
Хачатуров В.Р.	195
Хлопов Г.И.	82
Хоменко С.И.	82
Ч	
Чень Бой	140
Чепинога А.В.	164
Чуриков Д.В.	61
Ш	
Шандренко Р.В.	352
Шевченко А.Ф.	339
Шевченко В.Н.	180
Шинкарук О.М.	234, 261
Ширман Я.Д.	69
Широков И.Б.	362
Шокало В.М.	366
Штрунова Е.С.	158
Шустиков В.Ю.	114
Щ	
Щелкалин В.Н.	273
Э	
Эссельбах Р.В.	311
Ю	
Юдин С.В.	160
Я	
Яновский Ф.И.	94
Ярыгин А.П.	285
Яценко Е.А.	344
Яценко Н.М.	344
Яцуценко А.Я.	192

Яценко Е.А., Яценко Н.М. ВОЗБУЖДЕНИЕ ТОКА В СИСТЕМЕ ВЗАИМНО ПЕРПЕНДИКУЛЯРНЫХ ВИБРАТОРОВ В АНИЗОТРОПНОЙ СРЕДЕ	344
Куликов А.Л., Свечников А.С., Петрухин А.А. РАДИОЛОКАЦИОННОЕ ЗОНДИРОВАНИЕ В ЗАДАЧАХ МОНИТОРИНГА ВОЗДУШНЫХ ЛИНИЙ ЭЛЕКТРОПЕРЕДАЧ.....	348
Баранчиков Д.А., Шандренко Р.В., Сорох Н.О. СОЗДАНИЕ АВТОМАТИЗИРОВАННОГО СТЕНДА ДЛЯ ОЦИФРОВКИ ДАННЫХ С ФОТОПЛЕНКИ.....	352
Бондаренко М.В., Копиевская В.С., Слюсар В.И. КОМПЛЕКСНО-СОПРЯЖЕННАЯ КОМПОНЕНТА СИГНАЛА ПРИ НЕИДЕНТИЧНОСТИ ДЖИТТЕРА АЦП В КВАДРАТУРНЫХ КАНАЛАХ ФАЗОВОГО ДЕТЕКТОРА С ДОПОЛНИТЕЛЬНЫМ СТРОБИРОВАНИЕМ	355
Бурдаков С.Н., Данилин А.Б., Зайченко А.Н., Макаров А.Л. РАДИОСИСТЕМЫ УПРАВЛЕНИЯ КОСМИЧЕСКИМИ АППАРАТАМИ УКРАИНЫ.....	359
Гимпилевич Ю.Б., Лукьянчук А.Г., Широков И.Б. МЕТОД СИНТЕЗА АКТИВНОГО ФИЛЬТРА ВТОРОГО ПОРЯДКА	362
Гомозов А.В., Шокало В.М., Грецких Д.В., Аль-Самарай Ш.Ф.А. ВОЗМОЖНОСТЬ РЕАЛИЗАЦИИ СИСТЕМЫ БЕСПРОВОДНОЙ ПЕРЕДАЧИ ЭНЕРГИИ К ТРУДНОДОСТУПНЫМ ОБЪЕКТАМ НА МНОГОПОЗИЦИОННОЙ СИСТЕМЕ С ФОКУСИРОВКОЙ ИЗЛУЧЕНИЯ И РЕКТЕНЕ	366
Ильин М.А., Корытцев И.В., Сидоров Г.И. УНИВЕРСАЛЬНЫЙ МУЛЬТИМЕДИЙНЫЙ СТРЕЛКОВЫЙ ТРЕНАЖЕР	371
Ильин М.А. ВЫЧИСЛЕНИЕ КООРДИНАТ ИНФРАКРАСНЫХ ВСПЫШЕК НА ФОНЕ СВЕТОВЫХ ЗАСВЕТОК	374
Литвинов А.И. РАЗРАБОТКА И ИССЛЕДОВАНИЕ УСТРОЙСТВА ФОРМИРОВАНИЯ ВРЕМЕННОЙ ОТМЕТКИ В ПРИЕМНОМ ТРАКТЕ ЛАЗЕРНЫХ ЛОКАЦИОННЫХ СТАНЦИЙ	376
Павлова О.Л., Петров В.А. КОРРЕЛЯЦИОННЫЕ СВОЙСТВА СИГНАЛОВ ЗА РАДИОГОРИЗОНТОМ В ОБЛАСТИ ДИФРАКЦИИ	380
Разказовский В. Б., Логвинов Ю. Ф. МОДЕЛЬ ПОЛЯ МИЛЛИМЕТРОВЫХ И САНТИМЕТРОВЫХ РАДИОВОЛН НАД МОРСКОЙ ПОВЕРХНОСТЬЮ ПРИ СИЛЬНЫХ ЗАТЕНЕНИЯХ.....	383
Зеленский А.А., Земляченко А.Н., Кривенко С.С., Лукин В.В., Пономаренко Н.Н. СЖАТИЕ ИЗОБРАЖЕНИЙ С ПОТЕРЯМИ БЕЗ ВИЗУАЛЬНО ЗАМЕТНЫХ ИСКАЖЕНИЙ: ПРИМЕНЕНИЯ, ПРОГРЕСС, ПРОБЛЕМЫ, ПЕРСПЕКТИВЫ	387
Атрошенко Л.М., Горобец Н.Н., Костяшкин С.И., Красногорский М.Г., Купко В.С., Малюков В.М. СОСТАВ СРЕДСТВ КАЛИБРОВКИ И ВАЛИДАЦИИ РСА КОСМИЧЕСКОГО БАЗИРОВАНИЯ ПОДСПУТНИКОВОГО ПОЛИГОНА «СКРИПАЛ».....	391
Катюшин Е.А., Рачков Д.С., Семеняка А.В., Зарицкий В.И. ОПТИМИЗАЦИЯ МЕТОДИКИ МОДЕЛИРОВАНИЯ ГАУССОВЫХ СЛУЧАЙНЫХ ПРОЦЕССОВ АВТОРЕГРЕССИИ	392
АЛФАВИТНЫЙ СПИСОК АВТОРОВ ДОКЛАДОВ	396

СБОРНИК НАУЧНЫХ ТРУДОВ
4-го Международного радиоэлектронного форума
«Прикладная радиоэлектроника. Состояние и перспективы развития»
(МРФ'2011)

Том I
МЕЖДУНАРОДНАЯ КОНФЕРЕНЦИЯ
«ИНТЕГРИРОВАННЫЕ ИНФОРМАЦИОННЫЕ РАДИОЭЛЕКТРОННЫЕ
СИСТЕМЫ И ТЕХНОЛОГИИ»
Часть 1

Ответственные за выпуск

Рябуха В.П.
Булавина Е.С.

Материалы сборника публикуются в авторском варианте
без редактирования

Подписано к печати 30.09.2011. Формат 60 × 84 1/8. Бумага офсетная.
Усл. печ. л. 46,97. Тираж 225 экз. Цена договорная. Зак. № 2-801.

61166 Украина, Харьков, просп. Ленина, 14

Отпечатано в учебно-научном издательско-полиграфическом центре ХНУРЭ
61166 Украина, Харьков, просп. Ленина, 14